

ФИЗИЧЕСКИЕ ПРИБОРЫ ДЛЯ ЭКОЛОГИИ,  
МЕДИЦИНЫ, БИОЛОГИИ

УДК 624.04 : 621.375

СПЕКТРОМЕТРИЧЕСКИЙ АНАЛИЗ ИСПАРЕНИЙ ОБРАЗЦОВ  
СМЕШАННОГО ЯДЕРНОГО ТОПЛИВА  $(U_{0.80}Pu_{0.20})O_2$ ,  
НАГРЕТЫХ ДО ТЕМПЕРАТУРЫ ВЫШЕ 2000°С

© 2012 г. М. Т. Жараспаев, Д. С. Ким\*, Р. Е. Жумагулова\*\*

Казахский национальный технический университет им. К.И. Сатпаева

Республика Казахстан, 050013, Алматы, ул. Сатпаева, 22

\*Институт ядерной физики Национального ядерного центра Республики Казахстан

Республика Казахстан, 050032, Алматы, ул. Ибрагимова, 1

\*\*Международная образовательная корпорация

Республика Казахстан, 050043, Алматы, ул. Рыскулбекова, 28

Поступила в редакцию 31.08.2011 г.

Описаны результаты спектрометрического анализа газового облака, образующегося над нагретыми до температуры >2000°С образцами смешанного уран-плутониевого топлива для реакторов. Нагрев образцов осуществлялся с помощью лазерной установки, позволяющей проводить эксперименты над ядерным топливом вне реактора. Полученные результаты позволяют эмпирически прогнозировать изотопный состав залповых выбросов из активной зоны реакторов мощностью до 1000 МВт, работающих на смешанном топливе  $(U_{0.80}Pu_{0.20})O_2$ , при авариях.

Как показывает мировой опыт, при тяжелых ядерных авариях из активной зоны реактора происходит выброс большого количества продуктов деления высокоактивных топливных материалов. Некоторая часть выделившейся активности удерживается в первом контуре реактора, а остальная попадет в защитную оболочку, и при ее разгерметизации произойдет залповый выброс радиоактивных компонентов в окружающую среду.

Очевидно, что уровни радиоактивного облучения человека, а также качественные и количественные характеристики доз, получаемых персоналом реактора и аварийно-спасательных формирований при ликвидации последствий аварии, определяются видом ядерного топлива, используемого в установке.

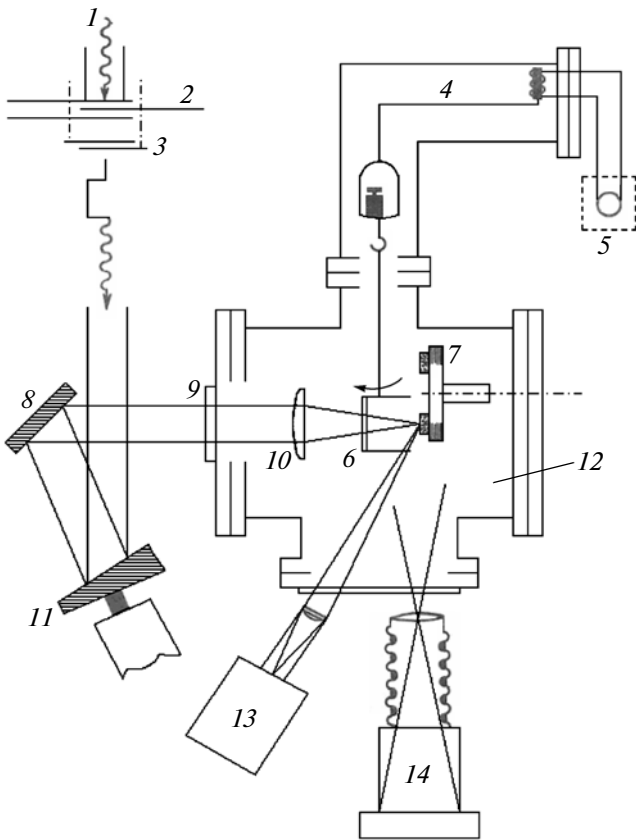
Для того чтобы определить предполагаемый уровень облучения личного состава аварийно-спасательных формирований при ликвидации последствий аварии на реакторе, работающем на смешанном топливе, необходимо, прежде всего, установить, какие продукты деления образуются в процессе его использования.

Изотопный состав аварийных выбросов из активной зоны реактора, работающего на смеси урана и плутония, можно прогнозировать, исходя из имеющихся данных о физических количествах радиоактивных материалов, входящих в состав топливной системы наиболее мощных ядерных установок. Исходные количества элементов ядерного топлива для энергетического реактора мощностью 1000 МВт представлены в табл. 1 [1, 2].

Чтобы искусственно создать аварийные условия гипотетического разрушения активной зоны, необходимо нагреть образец уран-плутониевого оксида до температуры жидкого топлива (свыше 2000°С). Для нагрева образцов топлива использовалась установка с лазерным испарением, принципиальная схема которой показана на рисунке. Лазерный пучок 1, источником которого служат слабоионизированный тлеющий электрический разряд и нагретый до состояния плазмы диоксид уг-

Таблица 1. Исходное количество актиноидов в ядерном реакторе мощностью 1000 МВт, работающем на смешанном уран-плутониевом топливе  $(U_{0.80}Pu_{0.20})O_2$

Изотоп	Количество актиноидов в активной зоне реактора, кг
$^{238}U$	42 300
$^{237}Np$	2
$^{238}Pu$	85
$^{239}Pu$	7327
$^{240}Pu$	2560
$^{241}Pu$	415
$^{242}Pu$	188
$^{241}Am$	11
$^{243}Am$	6
$^{244}Cm$	0.7
$^{242}Cm$	0.4
Итого	>50 т



Принципиальная схема установки для лазерного нагрева образцов ядерного топлива до температуры выше 2000°C. 1 – пучок газового лазера с CO<sub>2</sub>; 2 – плазменный прерыватель; 3 – затвор; 4 – вакуумные весы; 5 – компенсационная цепь; 6 – баллистический коллектор с окном для пучка; 7 – поворотный стол для мишеней; 8 – неподвижное зеркало; 9 – окно для пучка; 10 – линза; 11 – подвижное зеркало; 12 – вакуумная камера; 13 – быстродействующий микропирометр для измерения температуры в фокусном пятне и времени испарения; 14 – камера для наблюдения за струей газа.

лерода (CO<sub>2</sub>), испускается в инфракрасном диапазоне с длиной волны 10.5 мкм и мощностью ~200 МВт. Для уменьшения амплитуды импульса, подаваемого на электроды плазменных инжекторов поверхностного разряда, при сохранении плотности и объема создаваемой ими плазмы используется плазменный прерыватель тока 2. Он содержит источник импульса тока, подключенный к двум протяженным, разделенным изолятором электродам, которые вместе с изолятором образуют вакуумный межэлектродный промежуток; нагрузку в виде вакуумного или плазменного диода, подключенную к электродам; а также, по меньшей мере, один плазменный инжектор, расположенный на одном из электродов.

Для обеспечения возможности изменения угла фокусирования лазерного пучка на мишени

образце ядерного топлива в зависимости от целей и условий эксперимента пучок 1, проходя через задвижку 3, поступает в вакуумную камеру 12 не напрямую, а претерпевая двойное отражение от системы зеркал 8 и 11. Плотность пучка преломленных лучей, поступающих через окно 9 в вакуумную камеру 12, увеличивается с помощью собирающей линзы 10. Ее фокусное расстояние и оптическая сила могут изменяться в зависимости от того, до какой температуры требуется нагреть образец ядерного топлива, зафиксированный на поворотном столе 7. Образец через баллистический коллектор 6 нагревается пучком до температуры выше 2000°C до жидкого состояния. За счет вращения подвижного зеркала 11 фокус лазера во время действия импульса равномерно перемещается по круговой траектории на поверхности образца, что позволяет испарять относительно большие количества жидкого материала мишени.

В результате испарения нагретого до жидкого состояния образца в вакуумной камере 12 происходит его термическое разложение и абсорбция газов. Для измерения газового давления при испарении ядерного топлива при температуре выше 2000°C, скорости испарения и для определения газопроницаемости в установке используются точные вакуумные термовесы 4 с кварцевой спиралью чувствительностью ~1 мг/мм (деформация спирали регистрируется с помощью катетометра с точностью до 0.01 мм). Поскольку вакуумные весы 4 работают от источника тока, имеющего параллельное подключение к лазер-генератору, возникает уравнительный ток (к одному генератору – реактивный ток с перенасыщенным возбуждением, а к другому – емкостный ток). Для уменьшения возбуждения генератора с реактивной нагрузкой и увеличения возбуждения генератора с емкостной нагрузкой, так чтобы уравнительный ток стал равным 0, применяется компенсационная цепь 5.

Целью экспериментов по нагреву образцов ядерного топлива до температуры выше 2000°C является определение следующих параметров:

- времени и площади испарения;
- массы образовавшегося газа;
- момента выхода струи газа, который измеряется по амплитуде отклонения маятникового коллектора, установленного в камере 14 для наблюдения за струей газа;
- спектрального теплового излучения поверхности испарения, которое измеряется быстродействующим микропирометром 13, позволяющим определить температуру испарения образца путем измерения его спектральной эмиссионной способности.

В случаях, когда необходимо определить не мощность теплового излучения, а радиоизотоп-

**Таблица 2.** Объемные активности радионуклидов, содержащихся в испарениях топлива  $(U_{0.80}Pu_{0.20})O_2$  при температуре 2000°C

Нуклид	Период полураспада	ДОА (допустимая объемная активность), Бк/м <sup>3</sup> [3]	Измеренная объемная активность нуклида, $10^{12}$ Бк/м <sup>3</sup>	Активность нуклида, % к общей активности
<sup>133</sup> Xe	5.3 сут	160 000	1.6	0.16
<sup>135</sup> Xe	9.2 ч	5180	1.33	0.14
<sup>138</sup> Xe	14 мин	7770	1.33	0.14
<sup>85m</sup> Kr	4.5 ч	2146	0.32	0.03
<sup>87</sup> Kr	76 мин	14 800	0.53	0.05
<sup>88</sup> Kr	171 мин	2997	0.73	0.07
<sup>89</sup> Kr	3 мин	1110	1.01	0.1
<sup>238</sup> Pu	87.7 лет	0.53	0.002	0.0003
<sup>239</sup> Pu	24 100 лет	0.53	0.024	0.002
<sup>240</sup> Pu	6540 лет	0.53	0.008	0.0009
<sup>241</sup> Pu	14.4 лет	50	0.013	0.001
<sup>242</sup> Pu	376 000 лет	0.57	0.007	0.0007
<sup>132</sup> Te	78 ч	40	0.001	0.0001
<sup>131</sup> I	8.05 сут	7.3	0.003	0.0003
<sup>132</sup> I	2.3 ч	148	0.004	0.0004
<sup>133</sup> I	21 ч	20.35	0.001	0
<sup>134</sup> I	52 мин	296	0.001	0
<sup>135</sup> I	6.6 ч	66.6	0.001	0
<sup>90</sup> Sr	9.5 ч	318.2	0.001	0.0001
<sup>140</sup> Ba	13 сут	22	0.001	0.0001
<sup>57</sup> Co	271 сут	8500	0.009	0.0009
<sup>65</sup> Zn	244 сут	2800	0.004	0.0004
<sup>147</sup> Nd	11 сут	4000	0.004	0.0004
<sup>147</sup> Pm	2.62 года	1700	0.003	0.0003
<sup>145</sup> Sm	340 сут	5300	0.007	0.0007
<sup>235</sup> U	704 000 000 лет	2.9	0.019	0.002
<sup>238</sup> U	447 000 000 лет	2.4	0.019	0.002
<sup>237</sup> Np	214 000 лет	0.38	0.001	0.0001
<sup>242</sup> Cm	163 сут	1.7	0.002	0.0002
Суммарная объемная активность			$6.985 \cdot 10^{12}$ Бк	

ный состав газа, образовавшегося в результате испарения образца ядерного топлива, вместо микропирометра *13* можно использовать спектрометр.

Данная установка отличается от аналогов тем, что перед подачей лазерного луча в вакуумную камеру его пропускают через систему двух зеркал, одно из которых подвижное, и собирающую лин-

**Таблица 3.** Расчетные активности радионуклидов, ожидаемые при испарениях топлива  $(U_{0.80}Pu_{0.20})O_2$  при температуре  $2000^\circ C$  в активной зоне реактора мощностью 1000 МВт с топливной загрузкой 50 т

Нуклид	Период полураспада	Рассчитанная активность нуклида, $10^{12}$ Бк
$^{133}\text{Xe}$	5.3 сут	61946
$^{135}\text{Xe}$	9.2 ч	51495
$^{138}\text{Xe}$	14 мин	51495
$^{85m}\text{Kr}$	4.5 ч	12358
$^{87}\text{Kr}$	76 мин	20598
$^{88}\text{Kr}$	171 мин	28322
$^{89}\text{Kr}$	3 мин	39136
$^{238}\text{Pu}$	87.7 лет	107
$^{239}\text{Pu}$	24100 лет	928
$^{240}\text{Pu}$	6540 лет	324
$^{241}\text{Pu}$	14.4 лет	495
$^{242}\text{Pu}$	376000 лет	256
$^{132}\text{Te}$	78 ч	51
$^{131}\text{I}$	8.05 сут	113
$^{132}\text{I}$	2.3 ч	170
$^{133}\text{I}$	21 ч	31
$^{134}\text{I}$	52 мин	31
$^{135}\text{I}$	6.6 ч	26
$^{90}\text{Sr}$	9.5 ч	46
$^{140}\text{Ba}$	13 сут	51.5
$^{57}\text{Co}$	271 сут	352
$^{65}\text{Zn}$	244 сут	139
$^{147}\text{Nd}$	11 сут	170
$^{147}\text{Pm}$	2.62 года	117
$^{145}\text{Sm}$	340 сут	280
$^{235}\text{U}$	704000000 лет	737.6
$^{238}\text{U}$	447000000 лет	737.6
$^{237}\text{Np}$	2140000 лет	51.5
$^{242}\text{Cm}$	163 сут	70
Суммарная активность		$270.634 \cdot 10^{15}$ Бк

зу. Это позволяет более равномерно нагревать образцы ядерного топлива, что в свою очередь снижает погрешность измерения данных термического равновесия, основанного на определении скорости испарения материала мишени.

Нагрев лазерным лучом до температуры выше  $2000^\circ C$  является наиболее приемлемым способом испарения образцов. Определяя скорость испарения материала мишени и давления пара, можно получить данные термического равновесия.

Нагрев электронным лучом использовать нельзя, так как взаимодействие электронного луча с га-

зовым облаком над мишенью влияет как на скорость ее испарения, так и на реакционное давление газового облака, что искажает результаты измерения температуры. Кроме того, большая глубина проникновения электронного луча приводит к неопределенному взрывоподобному испарению.

Температура нагрева образца выбрана исходя из того, что на повышение газового давления в облученном ядерном топливе, приводящее к разрушению топливных стержней и сборок, главным образом влияют как газообразные продукты деления в температурной области ниже точки плавления ( $\approx 1800^\circ C$ ), так и сам топливный материал – в температурной области выше  $2000^\circ C$  [2].

Эксперименты с образцами уран-плутониевого оксида в условиях, приближенных к аварийным, проводились главным образом для того, чтобы определить изотопный состав испарений смешанного топлива.

В табл. 2 приведены результаты спектрометрического анализа испарений топлива  $(U_{0.80}Pu_{0.20})O_2$  при температуре  $2000^\circ C$ .

Приведенные в табл. 2 значения измеренных объемных активностей нуклидов получены после обработки прямых показаний спектрометра. Единица измерения прямых показаний спектрометра – беккерель на образец. Поскольку суммарная масса образцов  $(U_{0.80}Pu_{0.20})O_2$  составила 1 кг, объемные активности нуклидов выведены с учетом плотности воздуха ( $\rho = 1.225 \text{ кг}/\text{м}^3$ ).

Расчет ожидаемой активности  $A$  продуктов деления  $(U_{0.80}Pu_{0.20})O_2$  активной зоны реактора мощностью 1000 МВт с топливной загрузкой 50 т можно провести по следующей формуле<sup>1</sup>

$$A = 3.1 \cdot 10^{13} P A_i (1 - e^{-\lambda_i T_{\text{эфф}}}).$$

Здесь  $P$ , МВт – мощность реактора;  $A_i$ , Бк – измеренная объемная активность  $i$ -го нуклида;  $\lambda_i$ ,  $\text{s}^{-1}$  – постоянная распада  $i$ -го нуклида;  $3.1 \cdot 10^{13}$  Бк · МВт – коэффициент пересчета;  $T_{\text{эфф}}$ , с – эффективное время работы реактора, эквивалентное времени нагрева топлива:

$$T_{\text{эфф}} = BM / (1.4 \cdot 10^{-8} W),$$

где  $B$ , МВт · сут/т – среднее выгорание смешанного топлива  $(U_{0.80}Pu_{0.20})O_2$  в активной зоне ( $B = 50000$  МВт · сут/т для реактора мощностью 1000 МВт);  $M$ , т – масса  $(U_{0.80}Pu_{0.20})O_2$  в активной зоне;  $W$ , МВт – мощность реактора.

Активности радионуклидов, ожидаемые в испарениях топлива  $(U_{0.80}Pu_{0.20})O_2$  при температуре  $> 2000^\circ C$ , рассчитанные по данной методике, приведены в табл. 3.

<sup>1</sup> Методика расчета “Оценка радиационных последствий аварий на исследовательских реакторах” предоставлена Институтом атомной энергии им. И. В. Курчатова.

Основываясь на полученных результатах, можно гипотетически оценить суммарную активность аварийных выбросов из активной зоны реактора мощностью 1000 МВт, работающего на смешанном уран-плутониевом топливе  $(U_{0.80}Pu_{0.20})O_2$ . Она составит  $\sim 270 \cdot 10^{15}$  Бк.

Анализ данных табл. 2 и 3 показывает, что радиоизотопный состав аварийных выделений из активной зоны реактора на смешанном топливе отличается высоким содержанием устойчивого соединения  $PuO_2$ , а также большим количеством чистого плутония  $^{238}Pu$ ,  $^{239}Pu$ ,  $^{240}Pu$ ,  $^{241}Pu$ ,  $^{242}Pu$ , долгоживущего и наиболее радиотоксичного по

сравнению с остальными составляющими ожидаемого выброса.

#### СПИСОК ЛИТЕРАТУРЫ

1. [http://ru.wikipedia.org/wiki/%DF%E4%E5%F0%ED%EE%E5\\_%F2%EE%EF%EB%E8% E2%EE](http://ru.wikipedia.org/wiki/%DF%E4%E5%F0%ED%EE%E5_%F2%EE%EF%EB%E8% E2%EE)
2. <http://b-energy.ru/biblioteka/bezopasnost-aes-ekologiya/345-avarii-reaktora-s-razrusheniem-aktivnoi-zony.html>
3. НРБ-99 СП 2.6.Л.758-99. Нормы радиационной безопасности. Издание официальное. Введ. 1999-01-01. Алматы: Агентство по делам здравоохранения РК, 1999.